

Д.М. Фреїк, А.М. Яцура

Дефектоутворення в чистих і легованих вісмутом плівках PbSe

Прикарпатський університет імені Василя Стефаника, кафедра фізики і хімії твердого тіла,
вул. Галицька 201, м. Івано-Франківськ, 76000, Україна.

Запропоновані механізми дефектоутворення в плівках PbSe і PbSe:Bi, вирощених у відкритому вакуумі на сколах (111) BaF₂. Показано, що якщо у чистих плівках домінує утворення міжвузлового свинцю; вакансій селену, то у легованих – вісмут у катіонній (Bi_{Pb}) і аніонній (Bi_{Se}) підгратках.

Ключові слова: плівки, селенід свинцю, легування, дефекти.

Стаття постуила до редакції: 05.10.2003; прийнята до друку: 19.05.2004.

I. Вступ

Селенід свинцю привертає до себе увагу в зв'язку з використанням у приладових структурах, що функціонують в інфрачервоній області оптичного спектру [1,2] та термоелектричних перетворювачах енергії [3]. Він кристалізується з ґраткою типу NaCl із значними відхиленнями від стехіометричного складу і двосторонньою областю гомогенності [4]. Останнє є причиною значної концентрації власних атомних дефектів і різного типу провідності [5]. Вісмут – елемент V групи Періодичної таблиці – за своїм розміщенням відносно до сполук A^{IV}B^{VI} може заміщувати елементи як у катіонній, так і у аніонній підгратках. Він відноситься до р- елементів із конфігурацією валентних електронів 6s²6p³. Тому розміщуючись у катіонній підгратці основної матриці, в якій свинець має електронну конфігурацію 6s²6p², вісмут буде ефективним донором. У аніонній підгратці – вісмут акцептор (Ge – 5s²5p⁴). Амфотерну роль домішки вісмуту в плівках і кристалах PbSe підтверджено в роботах [6-9]. Зараз залишається актуальною проблема визначення умов за яких вісмут стає донором чи акцептором.

У даній роботі виконано аналіз механізмів дефектоутворення у плівках PbSe в залежності від технологічних умов їх вирощування та легування вісмутом.

II. Методика експерименту і результати

Плівки одержували відкритим випаровуванням у вакуумі наважки із порошку наперед синтезованої чистої сполуки PbSe, а також легованої домішкою вісмуту (0,075 ат.%) згідно [6]. В якості підкладок використовували свіжі сколи по площині (111) кристалів BaF₂, температура яких змінювалась в інтервалі T_п = (500-650) К. Електричні параметри плівок вимірювали при кімнатній температурі компенсаційним методом у постійних електричних і

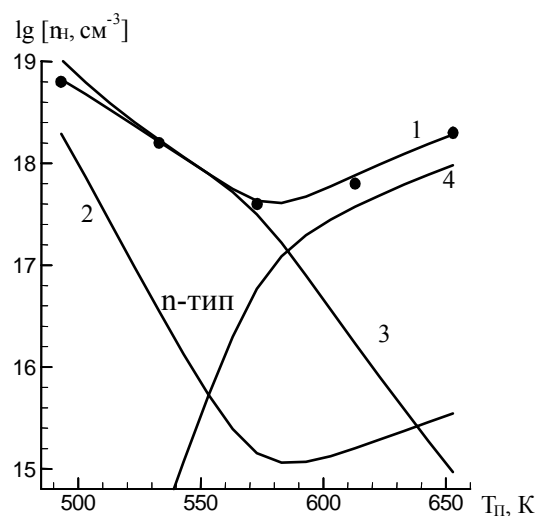


Рис. 1. Залежність концентрації носіїв струму і дефектів у чистих плівках PbSe від температури підкладки T_п. n_{n-1}, [V_{Pb}²⁻] – 2, [Pb_i⁺] – 3, [V_{Se}²⁺] – 4, ● – експеримент [6].

магнітних полях.
Експериментальні залежності концентрації носіїв струму плівок PbSe і PbSe:Bi від температури осадження наведені на рис. 1 і рис. 2 відповідно.

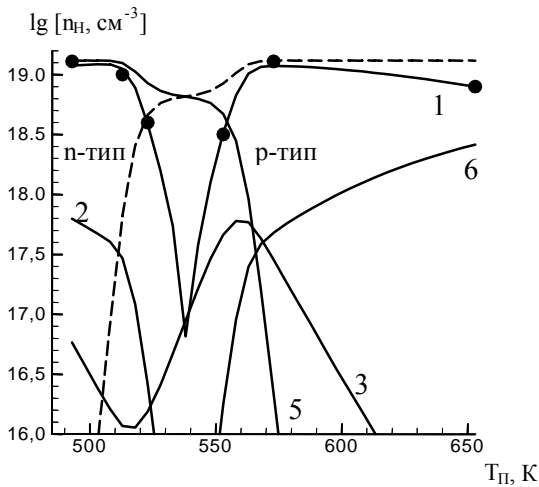


Рис. 2. Залежність концентрації носіїв струму і дефектів у легованих плівках PbSe:Bi від температури підкладки $T_{п}$. $n_H - 1, [V_{Pb}^{2-}] - 2, [Pb_i^+] - 3, [Bi_{Se}^-] - 4, [Bi_{Pb}^+] - 5, [V_{Se}^{2+}] - 6.$
• – експеримент [6].

Видно, що характер зміни холлівської концентрації для легованих плівок (рис. 2 – експеримент) суттєво відрізняється від нелегованих (рис. 1 – експеримент). Так, зокрема, при високих температурах осадження $T_{п} = (550-650)$ К плівки PbSe:Bi мають діркову провідність (рис. 2 – експеримент). У нелегованих плівках PbSe у цьому інтервалі температур спостерігається зростання концентрації електронів (рис. 1 – експеримент).

III. Квазіхімічні рівняння утворення атомних дефектів

Механізми утворення дефектів у плівках, які визначають їх електричні властивості, зручно описати квазіхімічними рівняннями за Крегером [10], використовуючи закон діючих мас.

Чисті плівки PbSe. Дефектний стан плівок PbSe, за умови рівноважності процесу, описується системою наступних квазіхімічних рівнянь (таблиця 1).

Тут реакція (1.1) перехід селену із пари (Se_2^V) в вузол аніонної підґратки (Se_{se}) з утворенням нейтральної вакансії свинцю (V_{pb}^0), а реакція (1.2) –

Таблиця 1

Квазіхімічні реакції, константи рівноваги (K) утворення дефектів у плівках PbSe

№ n/n	Реакції	Константа
1.1	$\frac{1}{2} Se_2^v = Se_{Se} + V_{Pb}^0$	$K_{Se} = \frac{[V_{Pb}^0]}{P_{Se_2}^{1/2}}$
1.2	$Pb^v = Pb_i^+ + e^-$	$K_{Pb} = \frac{[Pb_i^+] \cdot n}{P_{Pb}}$
1.3	"0" = $V_{Se}^0 + V_{Pb}^0$	$K_{Sh} = [V_{Se}^0] \cdot [V_{Pb}^0]$
1.4	$V_{Se}^0 = V_{Se}^{2+} + 2 \cdot e^-$	$K'_a = \frac{[V_{Se}^{2+}] \cdot n^2}{[V_{Se}^0]}$
1.5	$V_{Pb}^0 = V_{Pb}^{2-} + 2 \cdot h^+$	$K'_b = \frac{[V_{Pb}^{2-}] \cdot p^2}{[V_{Pb}^0]}$
1.6	"0" = $e^- + h^+$	$K_i = n \cdot p$

утворення міжвузлового свинцю (Pb_i^+) відповідно при температурі осадження $T_{п}$. Реакції (1.3), а також (1.4), (1.5) відповідають за рівноважний стан дефектів за Шоттки і їх іонізацію. Останнє рівняння (1.6) визначає власну провідність. Для цього випадку рівняння електронейтральності буде мати вигляд:

$$n + 2 \cdot [V_{Pb}^{2-}] = p + 2 \cdot [V_{Se}^{2+}] + [Pb_i^+] \quad (1)$$

Система рівнянь (1.1)-(1.6), а також (1) дає можливість знайти вирази для концентрації дефектів:

$$[V_{Pb}^{2-}] = \frac{[V_{Pb}^0] \cdot K'_b}{p^2} = \frac{K_{Se} \cdot P_{Se_2}^{1/2} \cdot K'_b}{p^2} = \frac{K_{Se} \cdot P_{Se_2}^{1/2} \cdot K'_b}{K_i^2} n^2;$$

$$[Pb_i^+] = \frac{P_{Pb} \cdot K_{Pb}}{n};$$

$$[V_{Se}^{2+}] = \frac{[V_{Se}^0] \cdot K'_a}{n^2} = \frac{[V_{Se}^0] \cdot K'_a}{n^2} = \frac{K_{Sh} \cdot K'_a}{K_{Se} \cdot P_{Se_2}^{1/2} \cdot n^2}; \quad (2)$$

$$[V_{Pb}^0] = K_{Se}(T) \cdot P_{Se_2}^{1/2};$$

$$[V_{Se}^0] = \frac{K_{Sh}}{K_{Se} \cdot P_{Se_2}^{1/2}}.$$

Концентрацію електронів знайдемо, підставивши у рівняння електронейтральності (1) знайдені вирази для концентрації дефектів через константи рівноваги і парціальний тиск пари селену P_{Se_2} (2):

$$n + 2 \cdot \frac{K_{Se} \cdot P_{Se_2}^{1/2} \cdot K'_b}{K_i^2} n^2 = \frac{K_i}{n} + 2 \cdot \frac{K_{Sh} \cdot K'_a}{K_{Se} \cdot P_{Se_2}^{1/2} \cdot n^2} + \frac{P_{Pb} \cdot K_{Pb}}{n},$$

Таблиця 2

Значення констант рівноваги $K = K_0 \exp(-\Delta H/kT)$ і ентальпій (ΔH) утворення дефектів для PbSe

№ n/n	Константи	K_0	ΔH , eВ	Література
1.1	$K_{Se} = \frac{[V_{Pb}^0]}{P_{Se_2}^{1/2}}$	$1,57 \cdot 10^{58}$	0,49	[4]
1.2	$K_{Pb} = \frac{[Pb_i^+] \cdot n}{P_{Pb}}$	$1,73 \cdot 10^{27}$	-1,82	[4]
1.3	$K_{Sh} = [V_{Se}^0] \cdot [V_{Pb}^0]$	$6,71 \cdot 10^{39}$	2,11	[4]
1.4	$K'_b = \frac{[V_{Pb}^{2-}] \cdot p^2}{[V_{Pb}^0]}$	$4,5 \cdot 10^{40}$	0,28	[5]
1.5	$K'_a = \frac{[V_{Se}^{2+}] \cdot n^2}{[V_{Se}^0]}$	$4,5 \cdot 10^{40}$	0,28	[5]
1.6	$K_i = n \cdot p$	$1,13 \cdot 10^{40}$	0,59	[4]

$$2 \cdot \frac{K_{Se} \cdot P_{Se_2}^{1/2} \cdot K'_b}{K_i^2} n^4 + n^3 - P_{Pb} \cdot K_{Pb} \cdot n - K_i \cdot n - 2 \cdot \frac{K_{Sh} \cdot K'_a}{K_{Se} \cdot P_{Se_2}^{1/2}} = 0. (3)$$

Леговані плівки PbSe:Bi. Дефектний стан легованих плівок PbSe:Bi, за умови амфотерної дії домішки, крім вище наведених рівнянь(1.1)-(1.6) (таблиця 1) буде визначатися додатковим квазіхімічним рівнянням:

$$Bi_{Pb}^+ + V_{Se}^0 + e^- = Bi_{Se}^- + V_{Pb}^0 + h^+,$$

$$K_{Bi} = \frac{[V_{Pb}^0] \cdot [Bi_{Se}^-] \cdot p}{[V_{Se}^0] \cdot [Bi_{Pb}^+] \cdot n}. (1.7)$$

Враховуючи рівняння електронейтральності у випадку легованих плівок

$$n + 2 \cdot [V_{Pb}^{2-}] + [Bi_{Se}^-] = p + 2 \cdot [V_{Se}^{2+}] + [Bi_{Pb}^+] + [Pb_i^+], (4)$$

одержимо наступні вирази для концентрації дефектів і електронів (n):

$$[V_{Pb}^{2-}] = \frac{[V_{Pb}^0] \cdot K'_b}{p^2} = \frac{K_{Se} \cdot P_{Se_2}^{1/2} \cdot K'_b}{p^2} = \frac{K_{Se} \cdot P_{Se_2}^{1/2} \cdot K'_b}{K_i^2} n^2;$$

$$[Pb_i^+] = \frac{P_{Pb} \cdot K_{Pb}}{n};$$

$$[V_{Se}^{2+}] = \frac{[V_{Se}^0] \cdot K'_a}{n^2} = \frac{[V_{Se}^0] \cdot K'_a}{n^2} = \frac{K_{Sh} \cdot K'_a}{K_{Se} \cdot P_{Se_2}^{1/2} \cdot n^2};$$

$$[Bi_{Se}^-] = \frac{N_{Bi}}{R+1}, [Bi_{Pb}^+] = \frac{R \cdot N_{Bi}}{R+1},$$

де $R = \frac{K_{Se} \cdot P_{Se_2}^{1/2} \cdot K_i^3}{K'_b \cdot K_{Sh} \cdot K_{Bi} \cdot n^4};$

$$[Bi_{Se}^-] = \frac{N_{Bi}}{\frac{K_{Se} \cdot P_{Se_2}^{1/2} \cdot K_i^3}{K'_b \cdot K_{Sh} \cdot K_{Bi} \cdot n^4} + 1};$$

Значення констант рівноваги і ентальпій утворення дефектів, які необхідні для проведення розрахунків наведено у таблиці 2.

$$[Bi_{Pb}^+] = \frac{N_{Bi}}{\frac{K'_b \cdot K_{Sh} \cdot K_{Bi} \cdot n^4}{K_{Se} \cdot P_{Se_2}^{1/2} \cdot K_i^3} + 1};$$

$$[V_{Pb}^0] = K_{Se} \cdot P_{Se_2}^{1/2};$$

$$[V_{Se}^0] = \frac{K_{Sh}}{K_{Se} \cdot P_{Se_2}^{1/2}}.$$

$$n + 2 \cdot \frac{K_{Se} \cdot P_{Se_2}^{1/2} \cdot K'_b}{K_i^2} n^2 + \frac{N_{Bi}}{\frac{K_{Se} \cdot P_{Se_2}^{1/2} \cdot K_i^3}{K'_b \cdot K_{Sh} \cdot K_{Bi} \cdot n^4} + 1} =$$

$$= \frac{K_i}{n} + 2 \cdot \frac{K_{Sh} \cdot K'_a}{K_{Se} \cdot P_{Se_2}^{1/2} \cdot n^2} + \frac{N_{Bi}}{\frac{K'_b \cdot K_{Sh} \cdot K_{Bi} \cdot n^4}{K_{Se} \cdot P_{Se_2}^{1/2} \cdot K_i^3} + 1} + \frac{P_{Pb} \cdot K_{Pb}}{n}. (6)$$

Слід зауважити, що при розрахунках константи рівноваги утворення атомних дефектів для процесів (1.1)-(1.7) відповідають температурі осадження плівок. Крім того, вважали, що весь вісмут шихти перейшов у плівку і став іонізованим, тобто виконується співвідношення:

$$N_{Bi} = [Bi_{Se}^-] + [Bi_{Pb}^+]. (7)$$

Термодинамічний p-n перехід, що має місце для плівок PbSe:Bi при певному значенні температури осадження T_n^* і концентрації вісмуту $[Bi_{Se}^-]^*$ можна розрахувати за умови рівності концентрацій електронів і дірок ($p = n$).

$$2 \cdot \frac{K_{Se}(T_n^*) \cdot P_{Se_2}^{1/2} \cdot K'_b(T_n^*)}{K_i(T_n^*)} + \frac{N_{Bi}}{\frac{K_{Se}(T_n^*) \cdot P_{Se_2}^{1/2} \cdot K_i(T_n^*)}{K'_b(T_n^*) \cdot K_{Sh}(T_n^*) \cdot K_{Bi}(T_n^*)} + 1} = 2 \cdot \frac{K_{Sh}(T_n^*) \cdot K'_a(T_n^*)}{K_{Se}(T_n^*) \cdot P_{Se_2}^{1/2} \cdot K_i(T_n^*)} + \frac{N_{Bi}}{\frac{K'_b(T_n^*) \cdot K_{Sh}(T_n^*) \cdot K_{Bi}(T_n^*)}{K_{Se}(T_n^*) \cdot P_{Se_2}^{1/2} \cdot K_i(T_n^*)} + 1} + \frac{P_{Pb} \cdot K_{Pb}(T_n^*)}{K_i^{1/2}(T_n^*)}.$$

$$[Bi_{Se}^{-}]^* = \frac{K_{Sh}(T_n) \cdot K'_a(T_n)}{K_{Se}(T_n) \cdot P_{Se_2}^{1/2} \cdot K_i(T_n)} + \frac{1}{2} N_{Bi} + \frac{1}{2} \frac{P_{Pb} \cdot K_{Pb}(T_n)}{K_i^{1/2}(T_n)} - \frac{K_{Se}(T_n) \cdot P_{Se_2}^{1/2} \cdot K'_b(T_n)}{K_i(T_n)}, \quad (8)$$

$$[Bi_{Pb}^{+}]^* = N_{Bi} - [Bi_{Se}^{-}]^*.$$

Враховуючи, що холлівська концентрація n_n , яка визначається на експерименті (рис. 1; рис. 2), рівна $n_n = n-p$, а також те, що згідно (1.6) (таблиця 1), $K_i = n-p$ одержимо вираз для її розрахунку на основі квазіхімічних рівнянь:

$$n_n = n[1 - K_i(T_n)/n]. \quad (9)$$

IV. Обговорення результатів досліджень

Результати проведених розрахунків концентрації дефектів і холлівської концентрації носіїв струму для плівок PbSe і PbSe:Bi від температури осадження наведено на рис. 1 і рис. 2 відповідно. Видно, що для чистих плівок PbSe (рис. 1) підвищення T_n обумовлює зменшення концентрації міжвузлового свинцю $[Pb_i^+]$ у всьому інтервалі зміни температури осадження (рис. 1 – крива 3). При цьому, якщо концентрація вакансій свинцю зменшується із підвищенням T_n (рис. 1 – крива 2), то вакансії селену зростають (рис. 1 – крива 4). Для області низьких температур осадження $T_n = (500-570)K$ домінують атомні дефекти, пов'язані із міжвузловим свинцем Pb_i^+ , які і відповідальні за спостережуване зменшення холлівської концентрації носіїв струму n_n (рис. 1 – крива 1). В інтервалі високих $T_n = (580-650)K$ зростання n_n обумовлене, в основному, донорними вакансіями селену $[V_{Se}^{2+}]$. Слід відзначити, що донорні дефекти – Pb_i^+ і V_{Se}^{2+} – переважають над акцепторними (V_{Pb}^{2-}) для всього інтервалу зміни

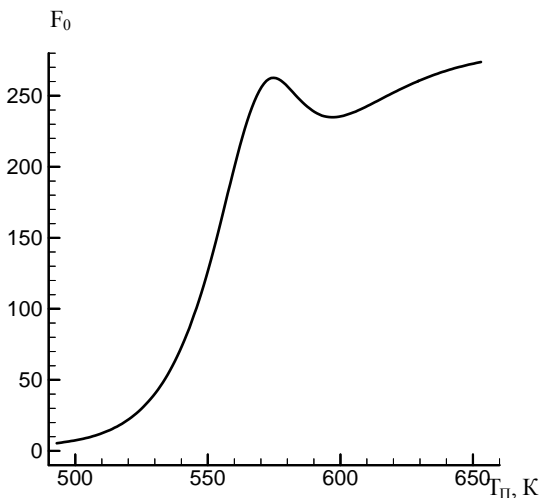


Рис. 3. Залежність інтегрального коефіцієнта компенсації $F_0 = \frac{[V_{Se}^{2+}] + [Pb_i^+]}{[V_{Pb}^{2-}]}$ для чистих плівок PbSe від температури підкладки T_n .

температур осадження. На це, зокрема, і вказує значення інтегрального коефіцієнта компенсації $([V_{Se}^{2+}] + [Pb_i^+]) / [V_{Pb}^{2-}]$ (рис. 3).

У легованих плівках PbSe:Bi домінуючими є атомні дефекти, пов'язані із домішкою – (Bi_{Se}^{-}) і (Bi_{Pb}^{+}). При цьому, якщо при температурах осадження $T_n = (500-550) K$ переважає вісмут у катіонній підгратці (Bi_{Pb}^{+}), Який є донором (рис. 2-

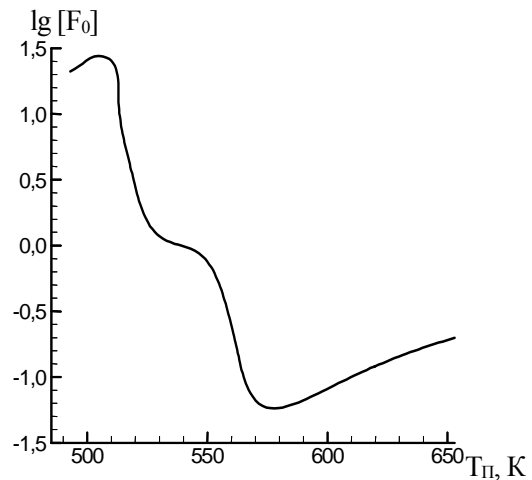


Рис. 4. Залежність інтегрального коефіцієнта компенсації $F_0 = \frac{[V_{Se}^{2+}] + [Bi_{Pb}^{+}] + [Pb_i^+]}{[V_{Pb}^{2-}] + [Bi_{Se}^{-}]}$ у легованих плівках PbSe:Bi від температури підкладки T_n .

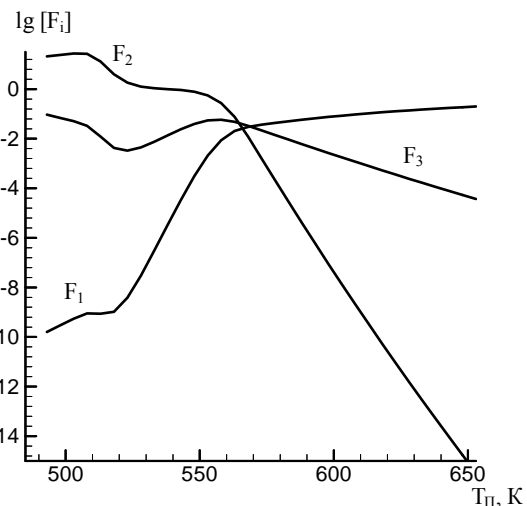


Рис. 5. Залежність парціальних коефіцієнтів компенсації $F_1 = \frac{[V_{Se}^{2+}]}{[V_{Pb}^{2-}] + [Bi_{Se}^{-}]}$, $F_2 = \frac{[Bi_{Pb}^{+}]}{[V_{Pb}^{2-}] + [Bi_{Se}^{-}]}$, $F_3 = \frac{[Pb_i^+]}{[V_{Pb}^{2-}] + [Bi_{Se}^{-}]}$ для легованих плівок PbSe:Bi від температури підкладки T_n .

крива 5), то при більш високих $T_n = (560-650) \text{ K}$ – вісмут у аніонній підгратці (Bi_{Se}^-), який є акцептором (рис. 2 – крива 4). Концентрація інших дефектів

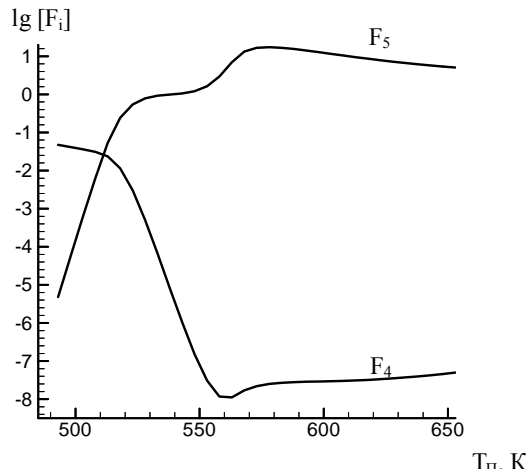


Рис. 6. Залежність парціальних коефіцієнтів компенсації

$$F_4 = \frac{[\text{V}_{\text{Pb}}^{2-}]}{[\text{V}_{\text{Se}}^{2+}] + [\text{Bi}_{\text{Pb}}^+] + [\text{Pb}_i^+]} \quad F_5 = \frac{[\text{Bi}_{\text{Se}}^-]}{[\text{V}_{\text{Se}}^{2+}] + [\text{Bi}_{\text{Pb}}^+] + [\text{Pb}_i^+]} \quad \text{для}$$

легованих плівок PbSe:Bi. від температури підкладки T_n .

$[\text{V}_{\text{Se}}^{2+}]$, $[\text{Pb}_i^+]$ і $[\text{V}_{\text{Pb}}^{2-}]$ незначна і вони компенсуються. Наведені міркування підтверджуються значеннями інтегрального (рис. 4) і парціального (рис. 5, 6) коефіцієнтів компенсації. Так, зокрема, якщо значення відношення сили всіх донорних дефектів до акцепторних (рис. 4), а також їх парціальні значення

(рис. 5) зменшуються із підвищенням температури осадження, то акцепторних – зростає (рис. 6). Концентрація нейтральних вакансій $[\text{V}_{\text{Pb}}^0]$ і $[\text{V}_{\text{Se}}^0]$ на декілька порядків менша ніж заряджених і складає $10^{11}-10^{16}$.

V. Висновки

Запропоновані механізми утворення атомних дефектів у чистих і легованих плівках селеніду свинцю, осаджених на сколах (111) BaF_2 при відкритому випаровуванні в вакуумі.

Показано, що домунуючими дефектами у чистих плівках PbSe є міжвузлові атоми свинцю (Pb_i^+) і вакансії селену ($\text{V}_{\text{Se}}^{2+}$), які відповідальні за формування n-типу провідності при температурі осадження $T_n = (500-550) \text{ K}$ і p-типу при $T_n = (560-650) \text{ K}$ відповідно.

У легованих плівках PbSe:Bi вісмут проявляє амфотерні властивості: при низьких температурах осадження переважають дефекти типу $[\text{Bi}_{\text{Pb}}^+]$ які формують матеріал n-типу, а при високих – $[\text{Bi}_{\text{Se}}^-]$ які є акцепторами.

Фреїк Д.М. – доктор хімічних наук, професор, директор Фізико-хімічного інституту, завідувач кафедри фізики і хімії твердого тіла;
Яцура А.М. – аспірант кафедри фізики і хімії твердого тіла.

- [1] Ю.И. Равич, В.А. Ефимова, В.А. Смирнова. *Методы исследования полупроводников в применении к халькогенидам свинца PbTe, PbSe, PbS*. Наука, М. 384 с. (1968).
- [2] Н. Holloway. Thin films IV-VI semiconductor photodiodes // *Physics thin films*, New York 11, pp. 105-203 (1980).
- [3] В.М. Шперун, Д.М. Фреїк, Р.І. Запужляк. *Термоелектрика телуриду свинцю та його аналогів*. Плай, Івано-Франківськ 250 с. (2000).
- [4] Н.Х. Абрикосов, Л.Е. Шелимова. *Полупроводниковые материалы на основе соединений $A^{IV}B^{VI}$* . Наука. М. 194 с. (1975).
- [5] Д.М. Фреїк, В.В. Прокопів, М.О. Галушак, М.В. Пиц, Г.Д. Матеїк. *Кристалохімія і термодинаміка атомних дефектів у сполуках $A^{IV}B^{VI}$* . Плай, Івано-Франківськ 164 с. (1999).
- [6] В.А. Зыков Т.А. Гаврикова, С.А. Немов. Амфотерное поведение висмута в пленках селенида свинца // *Физика и техника полупроводников*. **29**(2) сс. 309-315 (1995).
- [7] В.А. Зыков Т.А. Гаврикова, В.И. Ильин, С.А. Немов, П.В. Савинцев. Влияние примеси висмута на концентрацию носителей тока в эпитаксиальных слоях PbSe:Bi:Se // *Физика и техника полупроводников*, **35**(11), сс. 1311-1315 (2001).
- [8] Д.М. Фреїк, А.М. Яцура. Власні і домішкові атомні дефекти у легованих плівках селеніду свинцю // *Фізика і хімія твердого тіла*, **4**(2), сс. 288-293 (2003).
- [9] А.М. Яцура. Амфотерна поведінка вісмуту у легованих плівках PbSe<Se>:Bi // *Фізика і хімія твердого тіла*, **4**(3), сс. 510-514 (2003).
- [10] Ф. Крегер. *Химия несовершенных кристаллов*. Мир, М. 654 с. (1969).

Д.М. Фреїк, А.М. Яцура

D.M. Freik, A.M. Yatsura

Defects Formation in Clear and Doped by Bismuth PbSe Films

*Prycarpathian University named Vasyl Stefanyk, Department of physics and chemistry of solid state
201, Galytska Str., Ivano-Frankivsk, 76000, Ukraine*

Suggested the mechanisms of defects formation PbSe and PbSe:Bi films grew in open vacuum on (111) BaF₂ chips. It is demonstrated if formation of internodal lead and selenium vakancy dominate in clear films than in doped films dominate bismuth in cationic (Bi_{Pb}) and anionic (Bi_{Se}) subarrays.